

## **Phase Transformations of NiTinol Memory Alloys by DSC**

**Sumalee VONGCHAN, and Weera PHLAWADANA**

**Department of Metallurgical Engineering, Faculty of Engineering, Chulalongkorn University**

### **Abstract**

A unique characteristic of NiTi alloys at or near equi-atomic compositions or NiTinol is shape memory. This outstanding behavior leads to many applications such as biological materials. Lately there was an attempt of preparing NiTinol by a domestic laboratory in Thailand. Some of their important properties were examined. The results were quite satisfaction. A present experiment was aimed to study phase transformations of the alloys, which indicate memory transition temperatures ( $T_R$ ) of the alloys. A differential scanning calorimetry was used for the purpose. It was found that the memory transition temperature was very much affected by the alloy compositions.

## **การเปลี่ยนแปลงเฟสของโลหะจำรูปในไทยออลโดยเครื่อง DSC**

**สุมาลี วงศ์จันทร์ และวีระ พลวัฒน์**

**ภาควิชาวิศวกรรมโลหการ คณะวิศวกรรมศาสตร์ จุฬาลงกรณ์มหาวิทยาลัย**

### **บทคัดย่อ**

ลักษณะเฉพาะตัวของโลหะผสม NiTi ที่มีส่วนผสมโดยอะตอมเท่ากันหรือใกล้เคียงกันหรือเรียกอีกชื่อว่า ในไทยออล คือ การจำรูปได้มีการนำเสนอสมบัติพิเศษดังกล่าวไว้ในงานด้านต่างๆ อ่ายang แพร่หลาย โดยเฉพาะอย่างยิ่งใช้เป็นวัสดุชีวภาพ ในทางการแพทย์ ได้มีการพยาบาลทดลองเครื่องโลหะผสมในไทยออล (สุมาลี วงศ์จันทร์ และวีระ พลวัฒน์, 2542) โดยใช้ห้องปฏิบัติการภายในประเทศไทย สมบัติสำคัญบางชนิดของโลหะผสมดังกล่าวได้รับการทดสอบ ซึ่งได้ผลเป็นที่น่าพอใจในระดับหนึ่ง สำหรับการทดลองนี้จะเน้นไปที่การศึกษาค่าของอุณหภูมิที่เกิดการเปลี่ยนแปลงเฟส ซึ่งก็คืออุณหภูมิที่บ่งชี้การจำรูปของโลหะ-ผสมในไทยออลนั้นเอง โดยใช้เครื่อง DSC พบว่าส่วนผสมโดยอะตอมของโลหะผสมในไทยออล มีผลอย่างยิ่งต่ออุณหภูมิการจำรูป

## คำนำ

สมบัติในการคืนรูปของชิ้นงานวัสดุชนิดใด ชนิดหนึ่งที่ถูกแปรรูปไปเป็นอื่นโดยแรงกระทำทางกลจากภายนอกลับเข้าสู่รูปทรงที่เคยเป็นอยู่เดิมโดยสภาพแวดล้อมของห่วงอุณหภูมิที่เหมาะสมเป็นสมบัติที่มีคุณค่าต่อวงการอุตสาหกรรมอย่างยิ่ง โลหะผสมที่มีคุณลักษณะพิเศษ คือ การจำรูปนี้ เป็นก้าวใหม่ของวิวัฒนาการด้านโลหะผสม โลหะจำรูปสามารถนำมาเป็นแหล่งพลังงานทดแทน พลังงานอื่นๆ ได้ โลหะผสมนิกเกิลไทเทเนียมที่มีส่วนผสมโดยอะตอมไกด์เคียงกันหรือเรียกชื่อใหม่ว่าในไทยจะมีคุณลักษณะพิเศษดังกล่าวที่ “ได้มีงานวิจัยมากนัยที่อธิบายกลไก (Mechanism) ในการเกิดการจำรูปดังกล่าว ซึ่งอาจสรุปโดยรวมได้ว่า กลไกของการจำรูปของในไทยจะนั้นมาจากการเปลี่ยนเฟสกลับไปมาระหว่างเฟสօอสเทนไนท์ และเฟสมาร์เกนไไซต์เมื่อมีการเปลี่ยนแปลงอุณหภูมนั้นเอง”

อุณหภูมิดังกล่าวที่เรียกว่าเป็นอุณหภูมิขยะเกิดการเปลี่ยนเฟสหรืออุณหภูมิของการจำรูปของโลหะผสมในไทยออก โดยสามารถวัดได้ทางวิธี และวิธีวัดด้วยเครื่อง DSC ที่เป็นอิเล็กทรอนิกส์

## การทดลอง

นำโลหะผสม NiTi ที่มีส่วนผสมโดยอะตอมไกด์เคียงกัน ดังแสดงในตารางที่ 1 และ 2 ที่เตรียมได้จากห้องปฏิบัติการภายในประเทศไทย (ห้องปฏิบัติการภาควิชา วิศวกรรมโลหการ จุฬาลงกรณ์มหาวิทยาลัย) โดยใช้เตาอาร์คไฟฟ้าและผ่านกระบวนการทำให้เป็นเนื้อเดียวกัน (Homogenization) ที่อุณหภูมิ  $800^{\circ}\text{C}$  เป็นเวลา 1 ชั่วโมง แล้วจึงนำมาเตรียมชิ้นงานให้มีความเหมาะสม สะดวกในการนำไปวิเคราะห์ด้วยเครื่อง DSC ต่อไป

ตารางที่ 1 ส่วนผสมชิ้นงานทดลองโลหะผสม NiTi กลุ่มที่ 1 (ไม่ผ่านกระบวนการอัดขึ้นรูป)

ตัวอย่างที่	เปอร์เซ็นต์โดยอะตอม	
	นิกเกิล	ไทเทเนียม
1	52.5	47.5
2	52.0	48.0
3	51.5	48.5
4	51.0	49.0
5	50.5	49.5
6	50.0	50.0
7	49.5	50.5
8	49.0	51.0
9	48.5	51.5
10	48.0	52.0
11	47.5	52.5

ตารางที่ 2 ส่วนผสมชิ้นงานทดลองโลหะผสม NiTi กลุ่มที่ 2 (ผ่านกระบวนการอัดขึ้นรูป)

ตัวอย่างที่	เปอร์เซ็นต์โดยอะตอม	
	นิกเกิล	ไทเทเนียม
12	52.0	48.0
13	51.0	49.0
14	50.0	50.0
15	49.0	51.0
16	48.0	52.0

### ผลการวิเคราะห์ด้วยเครื่อง DSC

DSC เป็นการวัดความแตกต่างของการถ่ายเท พลังงานความร้อน โดยอาศัยข้อเท็จจริงที่ว่าเมื่อมีการเปลี่ยน เฟสต่างๆ ของสารละลายของแข็งในโลหะผสม NiTi จะเกิดปฏิกิริยาการถ่ายเทความร้อนที่เรียกว่า Exothermic reaction หรือ Endothermic reaction ขึ้น สำหรับโลหะผสมจำรูปของ ในไนโตรได้มีผู้พยายามอธิบายถึงกลไกในการจำรูปไว้ หลายแบบ เช่น Buehler, *et al.* (1963) ระบุว่าเกิดมาจากการ ถลายตัว (Decompose) ของสารละลายกึ่งโลหะ  $\text{NiTi}_2$  เป็น สารละลายกึ่งโลหะ  $\text{Ni}_3\text{Ti}$  โดยการให้แรงกระทำแบบแรงดึง (Tension) และแรงอัด (Compression) ลับกันไปมา ซึ่งพน ในเวลาต่อมาว่าเป็นกลไกที่ไม่ถูกต้อง

ในปัจจุบันได้เป็นที่ยอมรับโดยทั่วไปว่ากลไกที่ เหมาะสมที่สุดที่ใช้อธิบายปรากฏการณ์การจำรูปของโลหะ ผสมในไนโตรคือ การเกิดการเปลี่ยนแปลงกลับไปมาของ เฟสօอสเทนไนต์และเฟสมาร์เกนไไซต์ ดังคำอธิบายโดย Dauterich and Purdy (1965); and Koskimaki, *et al.* (1969) ซึ่งทำให้การตรวจสอบว่าโลหะผสมของ NiTi ส่วนผสมใด บ้างที่แสดงคุณสมบัติของการจำรูปได้ง่ายๆ โดยเครื่องมือ วิเคราะห์ DSC ซึ่งเป็นการตรวจสอบการเปลี่ยนเฟสที่เกิด ที่อุณหภูมิต่ำคือเฟสมาร์เกนไไซต์ และเฟสที่เกิดที่อุณหภูมิสูง คือเฟสօอสเทนไนต์ โดยวัดจากปริมาณความร้อนที่ถ่ายเท ขณะที่มีการเปลี่ยนเฟสเกิดขึ้น

ในการวิจัยครั้งนี้จึงใช้เครื่อง DSC ดังกล่าวเป็น เครื่องตรวจสอบอุณหภูมิการเปลี่ยนเฟสօอสเทนไนต์ และ มาร์เกนไไซต์ของชิ้นงานตัวอย่าง โดยวัดจากปริมาณพลังงาน ความร้อนที่ถ่ายเท ดังแสดงผลอุณหภูมิของการเปลี่ยน เฟสօอสเทนไนต์และเฟสมาร์เกนไไซต์ ในตารางที่ 3 รูปที่ 1 และรูปที่ 2

จากตารางที่ 3 และรูปที่ 2 กลุ่มตัวอย่างที่ 1 ซึ่ง ไม่ผ่านกระบวนการอัดขึ้นรูปอุณหภูมิ  $A_1$  และ  $M_1$  ซึ่งคือห่วง อุณหภูมิของการจำรูป (Memory transition temperature -  $T_R$ ) ของชิ้นงานลำดับที่ 1 ถึงที่ 4 มีค่าใกล้เคียงกัน และ ค่าอุณหภูมิ  $T_R$  มีค่าคงคล้ายระหว่างชิ้นงานลำดับที่ 5 หลังจากนั้นค่าอุณหภูมิ  $T_R$  เริ่มเพิ่มขึ้นอีกในชิ้นงานลำดับ ที่ 6 ถึงลำดับที่ 11 ส่วนกลุ่มตัวอย่างที่ 2 ซึ่งผ่านกระบวนการ อัดขึ้นรูปก็แสดงลักษณะความสัมพันธ์ระหว่างอุณหภูมิ  $T_R$  ต่อส่วนผสมค้ำยกันตัวอย่างกลุ่มที่ 1 เช่นกัน คือ  $T_R$  ของ ตัวอย่างที่ 14 มีค่าคงตัวลงอย่างชัดเจน จากรายงานของ Drennen, *et al.* (1968) พบว่าค่าของอุณหภูมิการจำรูปมีผล โดยตรงต่อส่วนผสม ถ้าพิจารณาความสัมพันธ์ระหว่าง ค่าอุณหภูมิการจำรูปต่อปริมาณของโลหะไทเทเนียมใน ตัวอย่างของกลุ่มที่ 1 และ 2 อาจแบ่งได้เป็น 3 ช่วง ดังแสดง ในรูปที่ 2 คือ ตัวอย่างกลุ่มที่ 1 ชิ้นงานลำดับที่ 5 ซึ่งมีส่วน ผสม Ni : Ti = 50.5 : 49.5 at % และกลุ่มที่ 2 ชิ้นงานลำดับ ที่ 15 ซึ่งมีส่วนผสม Ni : Ti = 49.0 : 51.0 at % มีค่า  $T_R$  ต่ำสุด

### Phase Transformations of NiTinol Memory Alloys by DSC.

หรืออีกนัยหนึ่งคือค่าอุณหภูมิการจำรูปของส่วนผสมดังกล่าวนี้มีค่าต่ำสุด แต่เมื่อส่วนผสมของชิ้นงานแตกต่างไปจากส่วนผสมดังกล่าวแล้วอุณหภูมิจะแปรผันไปตามเบอร์เช็นต์ของโลหะ-ไทเทเนียม ถ้าเลือกเอาชิ้นงานที่ 5 และ 15 ซึ่งเป็นจุดอุณหภูมิต่ำสุดจากรูปที่ 2 เป็นกรณี จะเห็นว่าความสัมพันธ์ระหว่างอุณหภูมิการจำรูปต่อส่วนผสมของชิ้นงานมีลักษณะสำคัญคือ กรณีของชิ้นงานที่มีส่วนผสมของโลหะ-ไทเทเนียมน้อยกว่าชิ้นงานที่มีค่า  $T_g$  ต่ำสุด ค่าของอุณหภูมิการจำรูปจะเพิ่มอย่างช้าๆ เมื่อปริมาณของโลหะ-ไทเทเนียมเพิ่มขึ้น ในทางตรงกันข้ามชิ้นงานที่มีโลหะ-ไทเทเนียมผสมอยู่ในปริมาณที่มากกว่าชิ้นงานที่มีค่า  $T_g$  ต่ำสุด ค่าของอุณหภูมิการจำรูป ( $T_g$ ) จะเพิ่มอย่างรวดเร็ว เมื่อปริมาณของโลหะ-ไทเทเนียมเพิ่มมากขึ้น

จากการวิเคราะห์ด้วยเครื่อง DSC สามารถเป็นตัวบ่งชี้ได้ว่าในชิ้นงานตัวอย่างที่เตรียมได้จากการวิจัยครั้งนี้ ทั้งสองกลุ่มนี้มีการเปลี่ยนเฟสกลับไปมาของเฟสอ๊อกซ์เจนในต์และเฟสมาร์เกนไไซต์ เมื่ออุณหภูมิเปลี่ยนแปลง

ดังจะเห็นได้จากการทำให้อุณหภูมิเพิ่มจาก  $-100^{\circ}\text{C}$  ขึ้นไปถึง  $+150^{\circ}\text{C}$  (Heating curve) และการทำให้เย็นลงจาก  $+150^{\circ}\text{C}$  ลงไปถึง  $-100^{\circ}\text{C}$  (Cooling curve) ซึ่งจากการเปลี่ยนเฟสทั้งสองโดยการเปลี่ยนแปลงอุณหภูมนั้น ทำให้สามารถหาค่าของอุณหภูมิการจำรูป ( $T_g$ ) ได้ค่อนข้างชัดเจน

#### สรุปผลการทดลอง

การวิจัยครั้งนี้ ค่าอุณหภูมิการเปลี่ยนเฟสดังกล่าวที่ได้จาก DSC ดังแสดงในรูปที่ 2 จะเห็นได้ว่า ค่าอุณหภูมิ ดังกล่าวมีการกระจายตัวกันเนื่องจากผลของตัวแปรต่างๆ ดังกล่าวมาแล้ว เช่น ส่วนผสมของโลหะผสม เป็นต้น ซึ่งจาก การทดลองสามารถสรุปโดยรวมได้ว่า ค่าอุณหภูมิการจำรูป ( $T_g$ ) นั้นเพิ่มขึ้นเมื่อปริมาณของโลหะนิกเกิลลดลง หรือในทางกลับกันอุณหภูมิดังกล่าวจะเพิ่มขึ้นเมื่อปริมาณของโลหะ-ไทเทเนียมเพิ่มขึ้น ยกเว้นชิ้นงานที่มีค่าส่วนผสมโดยชอบใจ เปอร์เซ็นต์ของโลหะ-นิกเกิลและโลหะ-ไทเทเนียมใกล้เคียง กับส่วนผสมที่มีอะตอนเปอร์เซ็นต์เท่ากัน (Equi - atomic - composition)

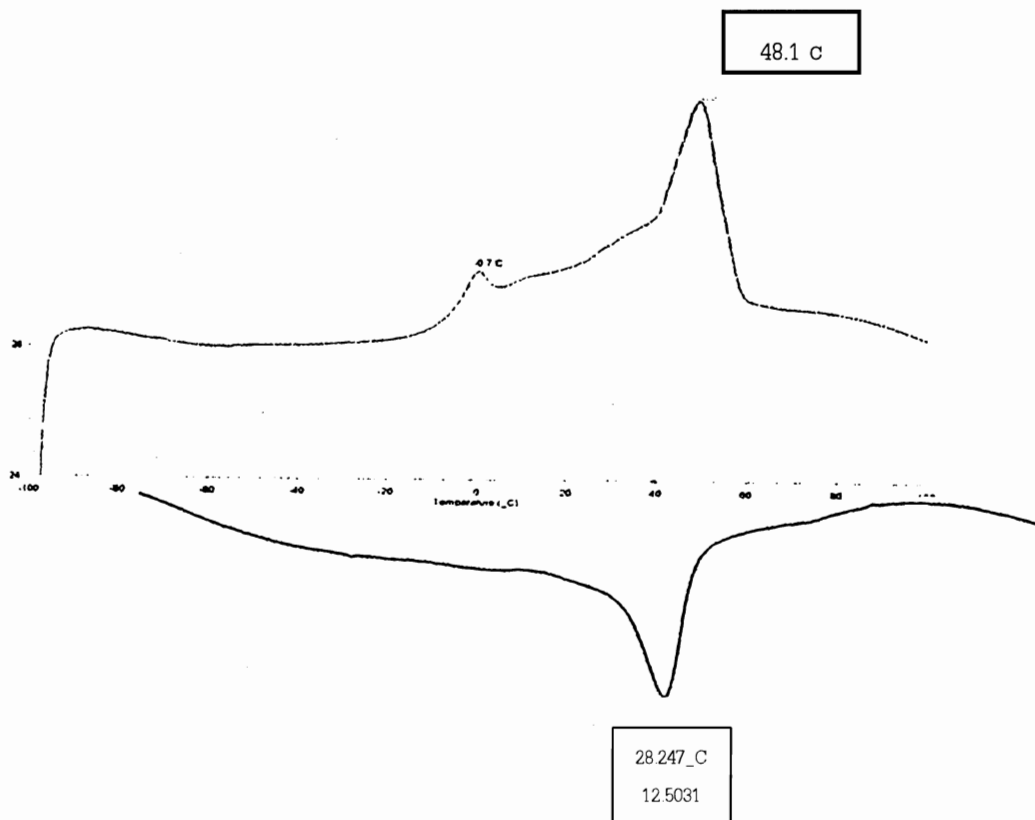
ตารางที่ 3 ผลที่ได้จากเครื่อง DSC (Differential Scanning Colorimeter)

ตัวอย่างที่	อุณหภูมิการเปลี่ยนเป็นเฟสอ๊อกซ์เจนในต์ ( $^{\circ}\text{C}$ )	อุณหภูมิการเปลี่ยนเป็นเฟสมาร์เกนไไซต์ ( $^{\circ}\text{C}$ )
1	49.1	26.2
2	46.3	24.9
3	46.2	25.9
4	48.1	28.2
5	15.9	6.8
6	84.1	61.2
7	114.1	91.3
8	97.0	76.9
9	106.5	85.0
10	104.7	85.2

ตารางที่ 3 ผลที่ได้จากเครื่อง DSC (Differential Scanning Colorimeter) (ต่อ)

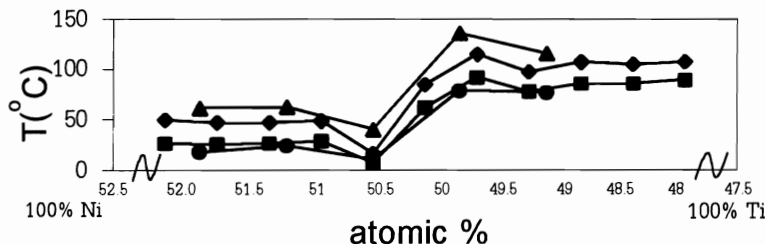
ตัวอย่างที่	อุณหภูมิการเปลี่ยนเป็นเฟสออกสเตนไนต์ ( $^{\circ}\text{C}$ )	อุณหภูมิการเปลี่ยนเป็นเฟสмар์เกนไซต์ ( $^{\circ}\text{C}$ )
11	107.1	88.9
12	60.5	17.4
13	61.5	23.5
14	40	10
15	135.9	77.9
16	115.3	75.8

Heat up from -100.00  $^{\circ}\text{C}$  to 170.00  $^{\circ}\text{C}$ : dsc Unsubtracted Heat Flow Endo Uo(mW): Step :1



Cool from 170.00  $^{\circ}\text{C}$  to -75.00  $^{\circ}\text{C}$  at 20.00  $^{\circ}\text{C}/\text{min}$ : dsc Unsubtracted Heat Flow Endo Uo

รูปที่ 1 ตัวอย่างกราฟที่แสดงผลของอุณหภูมิเปลี่ยนเฟสออกสเตนไนต์และเฟสмар์เกนไซต์ของโลหะผสม NiTi ที่ได้จากการทดลองโดยเครื่อง DSC



- ◆— กราฟแสดงความสัมพันธ์ระหว่างโลหะผสม NiTi ด้วยอั่งกุ่มที่ 1 แสดงอุณหภูมิการเปลี่ยนเฟสของอัลลอยในตัวอย่างที่ 1
- กราฟแสดงความสัมพันธ์ระหว่างโลหะผสม NiTi ด้วยอั่งกุ่มที่ 1 แสดงอุณหภูมิการเปลี่ยนเฟสของมาร์เกนในตัวอย่างที่ 1
- ▲— กราฟแสดงความสัมพันธ์ระหว่างโลหะผสม NiTi ด้วยอั่งกุ่มที่ 2 แสดงอุณหภูมิการเปลี่ยนเฟสของอัลลอยในตัวอย่างที่ 2
- กราฟแสดงความสัมพันธ์ระหว่างโลหะผสม NiTi ด้วยอั่งกุ่มที่ 2 แสดงอุณหภูมิการเปลี่ยนเฟสของมาร์เกนในตัวอย่างที่ 2

รูปที่ 2 แสดงความสัมพันธ์ระหว่างโลหะผสม NiTi และอุณหภูมิการเปลี่ยนเฟสของอัลลอยในตัวอย่างที่ 1 และมาร์เกน ไซต์

### เอกสารอ้างอิง

- Buehler, W.J., Gilfrich, J.V. and Wiley, R.C. 1963. Effect of Low Temperature Phase change on the Mechanical Properties of Alloys near composition NiTi. *J. Appl. Phys.* 34 :1475-1477.
- Dauterich, D.P. and Purdy, G.R. 1965. Phase Transformation in TiNi. *Canadian Metallurgical Quarterly*. 4 :129-143.
- Drennen, D.C., Jacksan, C.M. and Wagner, H.J. 1968. The Development of Melting and Casting Procedures for NiTinol Nickel-Base Alloys. *Rept. SC-CR-69-3070 contract 16-7540*, Dec. Battelle Memorial Institute.
- Koshimaki, D., Marcinkowski, M. and Sastri, A.S. 1969. Solid State Diffusional Transformation in the Near-Equiatomic NiTi Alloys. *Transaction of the Metallurgical Society of AIME*. 245 :1833-1890.
- ศุมาดี วงศ์จันทร์ และวีระ พลวัฒน์ 2542. ความเป็นไปได้ของการเตรียมในไทยอุตสาหกรรมปัจจุบัน การภายในประเทศไทย. วารสารโลหะ วัสดุ และแร่. 8 (2) : 62-72.